

## ウシの脾島の微小循環と A および B 細胞の細胞分布との関係について

平塚 貴浩・阿部 光雄・岩佐 憲二  
平賀 武夫・竹花 一成

The Relationship between Microcirculation and A and B Cells Distributions in Pancreatic Islets of Cattle

Takahiro HIRATSUKA, Mitsuo ABE, Kenji IWASA,  
Takeo HIRAGA and Kazushige TAKEHANA

(June, 1993)

### 緒論

脾臓は外分泌腺の中に内分泌腺が混在する特殊な器官である。Wharton<sup>25)</sup>はウサギの脾島が 1 本の輸入血管を受け、数本の輸出血管を脾外分泌部の毛細血管に与えていることを報告した。Fujita<sup>3)</sup>はウマで脾島から流出する血管が脾外分泌部を灌流する事實を報告し、脾島の洞様毛細血管（第一次毛細血管網）は脾島から流出する血管によりホルモンを血流によって脾外分泌部（第二次毛細血管網）へ運び、そのホルモンが外分泌部に何らかの作用をおよぼして、脾液や消化酵素の分泌調節にあずかるという考え方を示して、この関係を「脾島一腺房門脈」と総称することを提唱した。この第一次毛細血管網と第二次毛細血管網とを結ぶ連絡路は墨汁注入法<sup>3)</sup>および樹脂注入法<sup>17)</sup>により明らかにされている。現在ではこの血管の連絡路はウマ<sup>3)</sup>、サル<sup>4,6)</sup>、イヌ<sup>8,20)</sup>、ラット<sup>4,8,11,15,16,20,21)</sup>、ウサギ<sup>4,7,8,11,20,21)</sup>、ヒヒ<sup>11)</sup>、ネコ<sup>22)</sup>、マウス<sup>11)</sup>、モルモット<sup>11)</sup>、ヒト<sup>18)</sup>およびヘビ<sup>23)</sup>などの動物で報告されている。他方、脾島を構成する細胞群が血液の流れに沿ってある程度順序だてて位置していることも報告されている。すなわち、脾島の輸入血管の位置には A (glucagon) と D (somatostatin) 細胞が、「脾島一腺房門脈」つまり輸出血管の位置には B (insulin) 細胞が存在しているとも報告されている<sup>3,4,6~8,15,16,18,20,21)</sup>。そして生理学的にも glucagon や somatostatin が in-

sulin 放出をそれぞれ促進および抑制し<sup>19)</sup>、ラットでは insulin が cholecystokinin・pancreozymin (CCK・PZ) の効果を増強する作用があることも知られている<sup>12,13)</sup>。もちろん脾島の洞様毛細血管網から「脾島一腺房門脈」のほかに、直接小葉間静脈に帰流する導出静脈を持つ脾島もラットおよびウサギ<sup>20,21)</sup>で報告されている。

一方、これらの過去の多くの報告の中に反芻類での脾島内微小循環と細胞分布との関係に関する報告は少ない<sup>24)</sup>。そこで、今回はウシの脾臓の血管系、特に脾島周辺の微小循環系の走行を明らかにするため、樹脂（メルコックス）注入による鋳型標本を走査電子顕微鏡で、墨汁注入による透明標本を実体顕微鏡で観察した。また、脾島内の細胞分布を知るために特に A (glucagon) および B (insulin) 細胞に対する抗血清を用い、Avidin-biotin-peroxidase complex method (以後、ABC 法と略す) を施し光学顕微鏡にて観察した。

### 材料および方法

材料はホルスタイン種の成ウシ 6 頭、子ウシ 6 頭の脾臓を用いた。

鋳型標本作製のためには放血殺後、直ちに肝動脈または前腸間膜動脈より血液を十分に灌流洗浄したのち、鋳型標本作製用注入剤を注入した。注入剤はメルコックス CL-2 R または CL-2 B (以後、メルコックスと略す) を用い、モノマーとしてメタクリル酸メチルを用いた。メ

ルコックスとモノマーは注入の直前に混合し、十分に注入し樹脂が完全に硬化したのちに、脾臓の脾左葉の一部を取り出し、10%水酸化ナトリウム水溶液中に浸し60°Cの恒温器で組織を腐食させた。そののち、流水中で一晩静かに水洗したのち、必要な部分を取り出し乾燥させた。鋳型標本は、Eiko IB-3 ION COATER(エイコー・エンジニアリング)により金をコーティングした後、HHS-2R型走査電子顕微鏡(日立製作所)にて観察した。

透明標本作製のためには肝動脈より直ちに墨汁を十分に注入した。墨汁注入後、組織は10%ホルマリンで約2週間固定後細切し、流水中で一晩水洗し、アルコールにて脱水し、サリチル酸メチルで透徹し、実体顕微鏡(WILD・M 650型)にて観察した。

光顕標本は成ウシの脾臓を用いた。ブアン液で固定後、脾左葉、脾体および脾右葉の一部を採材し、常法に従い10μm厚のパラフィン連続切片を作製し、AおよびB細胞に対する抗血清を用い、ABC法を施して光学顕微鏡(以後、光顕と略す)にて観察した。

## 結果

脾臓の小葉における血管系は大部分が網目状に走る鋳型の径8μm程度の毛細血管であるが、所々で腎臓の糸球体様の構築を示す径12μm程度の太い毛細血管が認められた。前者は外分泌部の毛細血管で、後者は脾島(Fig. 1)を構成するものであった。脾島を構成する毛細血管叢は色々な大きさのものが観察されたが、大きいもので150×140μm(Fig. 1)、小さいもので85×75μm(Fig. 2)、100×90μm(Fig. 3)であった。小葉内動脈から脾島内に入る血管は脾島の周辺部で二分し脾島を取り囲むように走行し、それから脾島内に枝を出し脾島の周辺部の少し内側から「脾島一腺房門脈」を通って脾島から外へ放散し、外分泌部へ走行していた(Figs. 1-3)。また、小葉の辺縁に存在する脾島では脾島から直接小葉間静脈に出る導出静脈も観察された(Fig. 4)。しかし、小葉の中心部に位置する脾島には導出静脈は観察されなかった(Fig. 1)。

細胞の分布について述べると、脾体では主にglucagon免疫活性細胞(以下、glucagon細胞と略す)は脾島内の周辺部に、insulin免疫活性細胞(以下、insulin細胞と略す)は脾島の中心部で観察された(Fig. 5 A, B)。脾左葉では脾体のように脾島の全周ではなかったが、glucagon細胞は脾島内の周辺部で観察された(Fig. 6 A)、また、insulin細胞は脾体と同様、脾島の中心部で観察された(Fig. 6 B)。脾右葉ではglucagon細胞は大部分の脾島

で全く観察されず(Fig. 7 A), insulin細胞のみしか観察されなかつた(Fig. 7 B)。

## 考察

小葉内の血管系で1973年にFujitaが脾島と腺房との間の血管の連絡路を「脾島一腺房門脈」と報告して以来、多種の動物でその存在は明らかにされている<sup>3,4,6-8,11,15,16,18,20-23,25)</sup>。今回の研究からウシにおいても「脾島一腺房門脈」は明らかに認められた。この脾島内への血管が入る位置と「脾島一腺房門脈」が出る位置については既に3つに大別されている<sup>3,4,6-8,9,15,16,18,20,21)</sup>。すなわち、ラット<sup>4,8,15,16,20,21)</sup>およびウサギ<sup>4,7,8,20,21)</sup>で認められる小葉内動脈が分枝しながら脾島を取り囲むように走り、脾島内へ枝を送り、「脾島一腺房門脈」が比較的深い位置の洞様毛細血管から外へ出るもの(I型)。ウマ<sup>3,4)</sup>およびサル<sup>4,6)</sup>で認められる小葉内動脈が脾島内の中心部に直達し、その後周辺部への洞様毛細血管網を形成し、「脾島一腺房門脈」が脾島の周辺部から出していくもの(II型)。ヒト<sup>18)</sup>、イヌ<sup>8,20)</sup>およびモルモット<sup>21)</sup>で認められる小葉内動脈が脾島の中間層の部分に入ってから毛細血管網となるとされているもの(III型)である。これらの相違は脾島内の細胞の分布位置による違いと考えられており、I型ではA、D細胞が脾島の周辺部に、B細胞が中心部に位置し<sup>1,4,7,8,15,16,20,21)</sup>、II型ではA、D細胞が脾島の中心部に、B細胞が周辺部に位置する<sup>3,4,6,9)</sup>。またIII型ではA、BおよびD細胞が脾島内で特定の分布を示さず、混じり合っていると報告されている<sup>8,18,20)</sup>。このように脾島内の血液の流れはglucagonを分泌するA細胞、somatostatinを分泌するD細胞の領域からinsulinを分泌するB細胞の領域に流れることを示唆しており、glucagonやsomatostatinがinsulin分泌を調節するためのホルモンであるという報告がある<sup>3,4)</sup>。近年、生理学的実験により脾島のB細胞から分泌されるinsulinが脾外分泌部の機能を調節し、insulinが脾臓房細胞に作用するCCK・PZの働きを著しく強化、持続させることができラットすでに明らかにされている<sup>12,13)</sup>。またイヌにおいても、脾島内の毛細血管周囲腔で終止する神経が多く<sup>5)</sup>、その神經分泌物質が脾島内のホルモンと共に「脾島一腺房門脈」によって、外分泌部へと高濃度で運ばれ、その機能を調節しているのではないかという報告もある<sup>5)</sup>。ウシにおける脾島内微小血管循環は過去の報告でのI型に相当した。

免疫組織化学的にウシの脾左葉および脾体における脾島内のA細胞とB細胞との位置関係は主にA細胞が周辺部で、B細胞が中心部で観察された。また今回明らか

に出来なかった D 細胞は A 細胞とほぼ同様脾島の周辺部に存在すると報告されている<sup>2,10)</sup>。今回観察したウシにおいても過去の報告<sup>3,4,6-8,15,16,18,20,21)</sup>と同様、脾島内に入る動脈（輸入動脈）の位置には A および D 細胞が多く、「脾島一腺房門脈」の出る位置には B 細胞が多いことになり、glucagon および somatostatin が insulin 分泌を調節する何らかの機構があるのではないかということが推察できた。

脾臓の各葉における脾島の構成細胞の違いはすでにラット<sup>1)</sup> およびウマ<sup>9)</sup> などで報告されている。このような動物種の脾島、特に十二指腸に近い部分の脾島では A 細胞の代わりに PP (pancreatic polypeptide) 細胞が多いとされている<sup>1,9)</sup>。脾右葉の脾島では A 細胞はほとんど認められず、B 細胞が主に認められた。ウシでも過去の報告と同様、PP 細胞が多い脾島が存在することが推察されるため、このような脾島の微小血管循環を明らかにする必要があると考える。また、ウマに関しては腺房へ入る小葉内動脈はほとんどなく、最初に脾島を介してその後で腺房へと入ると報告されている<sup>3)</sup>。一方、ラットおよびウサギでは脾島に入る小葉内動脈は 10~20% で、残りの 80~90% の小葉内動脈は腺房に入ると報告されている<sup>20,21)</sup>。今回、観察したウシについては何 % の小葉内動脈が脾島に入るかということを明らかにすることは出来なかったが、ウマよりむしろラットおよびウサギに近いものであった。

ラットおよびウサギでは血液が脾島から「脾島一腺房門脈」を通って脾島周辺の外分泌部へと流れることがすでに報告されており<sup>21)</sup>、Miyake らも不完全な樹脂注入下で外分泌部よりも脾島に樹脂が入っていることを報告した<sup>15)</sup>。ウシにおいても血液は脾島から「脾島一腺房門脈」を通って外分泌部へと流れることが示唆された。

脾島より直接、静脈系に帰流する導出静脈はラットやマウスに多く、ウサギ、イヌ、ネコなどではまれである<sup>20,21)</sup>。導出静脈を有する脾島は特に小葉の辺縁や小葉間に多く存在すると報告されている<sup>21)</sup>。この導出静脈は高血糖や低血糖を制御するために、多量のホルモンや神経分泌物質を含んだ血液を速やかに体循環（静脈）に送り出す血管ではないかと推測している報告もある<sup>20,21)</sup>。また、Murakami ら<sup>16,18)</sup> はマウス、ラットおよびモルモットで小葉間に存在する脾島が多く、ウサギ、ネコ、イヌ、ブタ、ウシ、サルおよびヒトで小葉間に存在する脾島はほとんどなく、大部分の脾島が小葉内に存在し、前者では小葉間静脈に帰流する導出静脈が多く、後者では少ないと報告しており、彼らの報告<sup>16,18)</sup> と同様、我々の観察でも導出静脈を有する脾島はほとんど存在しなか

った。以上の事から、「脾島一腺房門脈」を多く有する動物と導出静脈を多く有する動物とがあるため Kato らの報告<sup>14)</sup> にもあるように脾島のホルモン、特に insulin を投与した時に動物種によって脾外分泌が促進されたり、あるいは抑制されたりすることの 1 つの要因ではないかといふことが推察される。

なお、複胃であり反芻という特殊な消化機能を有するウシの脾島の微小循環において、これまで報告<sup>3,4,6-8,11,15,16,18,20-23,25)</sup>のある単胃動物との相違については今回の観察で明らかにする事が出来なかった。

## 要 約

ウシの脾島周辺および脾島内の血管系を主として樹脂封型標本により SEM で観察し、加えて免疫組織化学的に脾島内の A (glucagon), B (insulin) 細胞の分布を明らかにし、それらの関係を明らかにした。

1. 脾島に入る小葉内動脈は脾島の周辺部で二枝に別れて入っていき、脾島の少し内側から出る「脾島一腺房門脈」が観察された。

2. 透明標本において脾島から直接、小葉間静脈に出る導出静脈が観察された。

3. 脾左葉および脾体での脾島では glucagon 免疫活性細胞が脾島の周辺部に、insulin 免疫活性細胞が脾島の中心部で観察された。脾右葉での脾島では glucagon 免疫活性細胞が観察されず、insulin 免疫活性細胞のみが観察された。

## 文 献

- Baetens, D., F. Malaisse-Lagae, A. Perrelet and L. Orci, 1979: Endocrine pancreas: Three-dimensional reconstruction shows two types of islets of Langerhans. *Science*, **206**: 1323-1325.
- Bonner-Weir, S. and A. A. Like, 1980: A dual population of Langerhans in bovine pancreas. *Cell Tissue Res.*, **206**: 157-170.
- Fujita, T., 1973: Insulo-acinar portal system in the horse pancreas. *Arch. Histol. Jpn.*, **35**: 161-171.
- 藤田恒夫, 1983: 脾の微小循環からランゲルハンス島の本態を探る、医学のあゆみ; **125**: C 588-C 593.
- Fujita, T. and S. Kobayashi, 1979: Proposal of a neurosecretory system in the pancreas. An electron microscope study in the dog. *Arch. Histol. Jpn.*, **42**: 277-295.

- 6) Fujita, T. and T. Murakami, 1973: Microcirculation of monkey pancreas with special reference to the insulo-acinar portal system. A scanning electron microscope study of vascular casts. *Arch. Histol. Jpn.*, **35**: 255-263.
- 7) Fujita, T. and Y. Watanabe, 1973: The effect of islet hormones upon the exocrine pancreas., In *Gastro-entero-pancreatic Endocrine System. A Cell-Biological Approach.* (T. Fujita, ed.), pp. 164-173, Igaku Shoin, Tokyo.
- 8) Fujita, T., Y. Yanatori and T. Murakami, 1976: Insulo-acinar axis, its vascular basis and its functional and morphological changes caused by CCK-PZ and caerulein., In *Endocrine Gut and Pancreas.* (T. Fujita, ed.), pp. 347-357, Elsevier Scientific Publishing Company, Amsterdam.
- 9) Furuoka, H., H. Ito, M. Hamada, T. Suwa, H. Satoh and C. Itakura, 1989: Immunocytochemical component of endocrine cells in pancreatic islets of horses. *Jpn. J. Vet. Sci.*, **51**: 35-43.
- 10) Galabova, R. and P. Petkov, 1975: Electron microscopy of the endocrine pancreas of cattle (*Bos taurus L.*). *Acta Anat.*, **92**: 560-569.
- 11) Henderson, J. R. and P. M. Daniel, 1979: A comparative study of the portal vessels connecting the endocrine and exocrine pancreas, with a discussion of some functional implications. *Quart. J. Exp. Physiol.*, **64**: 267-275.
- 12) 菅野富夫, 1988: 脾の内・外分泌一生理学の発展, 医学のあゆみ; **144**: 321-326.
- 13) Kanno, T. and A. Saito, 1976: The potentiating influences of insulin on pancreozymin-induced hyperpolarization and amylase release in the pancreatic acinar cell. *J. Physiol.*, **261**: 505-521.
- 14) Kato, S., S. Matsumoto, H. Kojima, H. Mineo, T. Onaga and K. Kikuchi, 1990: Effect of intravenous injection of insulin, glucose and tolbutamide on pancreatic exocrine secretion in sheep. *Jpn. J. Zootech. Sci.*, **61**: 360-365.
- 15) Miyake, T., T. Murakami and A. Ohtsuka, 1992: Incomplete vascular casting for a scanning electron microscope study of the microcirculatory patterns in the rat pancreas. *Arch. Histol. Cytol.*, **55**: 397-406.
- 16) Murakami, T. and T. Fujita, 1992: Microcirculation of the rat pancreas, with special reference to the insulo-acinar portal and insulovenous drainage systems: A further scanning electron microscope study of corrosion casts. *Arch. Histol. Cytol.*, **55**: 453-476.
- 17) 村上宅郎, 大谷 修, 1980: 鋳型観察法, 図説走査電子顕微鏡—生物試料作製法—(田中敬一, 永谷 隆編集), pp. 133-139, 朝倉書店, 東京.
- 18) Murakami, T., T. Fujita, T. Taguchi, Y. Nonaka, and K. Orita, 1992: The blood vascular bed of the human pancreas, with special reference to the insulo-acinar portal system. Scanning electron microscopy of corrosion casts. *Arch. Histol. Cytol.*, **55**: 381-395.
- 19) 中山昭雄, 1987: 新版 生理学入門, pp. 207-208, 朝倉書店, 東京.
- 20) 大谷 修, 1988: 脾の微小循環, 医学のあゆみ; **144**: 344-347.
- 21) Ohtani, O., T. Ushiki, H. Kanazawa and T. Fujita, 1986: Microcirculation of the pancreas in the rat and rabbit with special reference to the insulo-acinar portal system and emissary vein of the islet. *Arch. Histol. Jpn.*, **49**: 45-60.
- 22) Syed Ali, S., 1984: Angioarchitecture of the pancreas of the cat. Light-, scanning- and transmission electron microscopy. *Cell Tissue Res.*, **235**: 675-682.
- 23) Syed Ali, S., M. M. Syed Ali, M. A. Hafeez and M. M. Ahmad, 1991: Microangioarchitecture of the islets of Langerhans in the snakes, *Naja naja*, *Vipera russelli*, and *Echis carinatus*. *Cell Tissue Res.*, **266**: 83-88.
- 24) 和栗秀一, 1980: 家畜の器官組織学 改訂版, pp. 71-76, 学窓社, 東京.
- 25) Wharton, G. K., 1932: The blood supply of the pancreas, with special reference to that of the islands of Langerhans. *Anat. Rec.*, **53**: 55-81.

### Summary

The blood vascular system of pancreatic islets of cattle was investigated by using primarily scanning electron microscopy by vascular corrosion casts. Furthermore, the distributions of A (glucagon) and B (insulin) cells in the islet were studied by immunohi-

stochimical technique.

1. The intralobular arteriole coming into the islet separated into two branches at the periphery of the islet. "Insulo-acinar portal vessels" were located slightly to the inner side of the periphery of the islet.
2. The emissary venule was directly left the islet.
3. Glucagon cells were located at the periphery of the islet and insulin cells at the center of the islet in the left lobe and body. In the right lobe, the islet was composed solely of insulin cells with no glucagon cells.

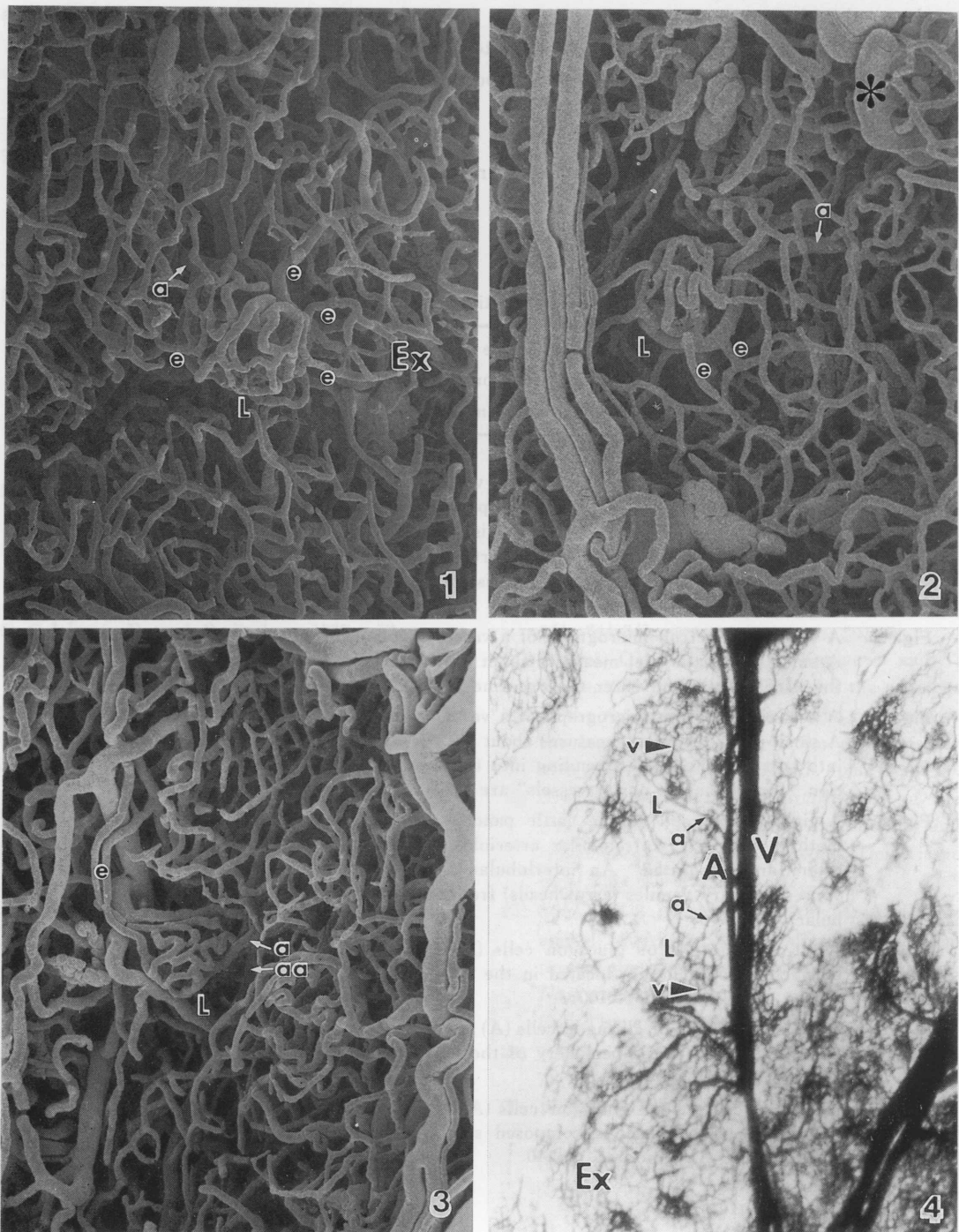
**Table 1.** Abbreviations used in figures

---

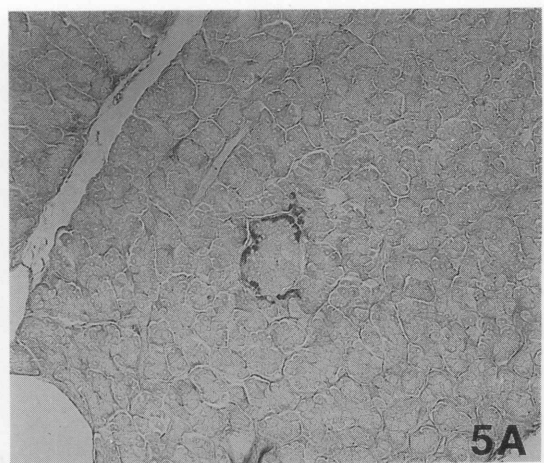
|                         |                                 |                             |
|-------------------------|---------------------------------|-----------------------------|
| A : interlobular artery | a : insular arteriole           | aa: acinar arteriole        |
| L : pancreatic islet    | e : insulo-acinar portal vessel | Ex: exocrine portion        |
| v : intralobular venule | V: interlobular vein            | *: leaked resin from vessel |

---

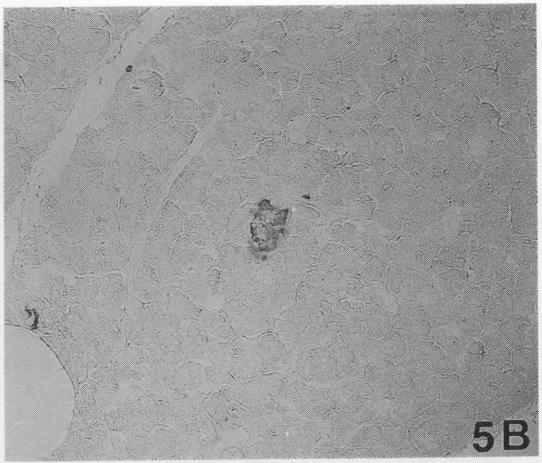
- Fig. 1.** A scanning electron micrograph of a vascular corrosion cast of the cattle pancreas. A large pancreatic islet, which is composed of capillaries, is about  $150 \times 140 \mu\text{m}$ . An intralobular arteriole coming into the islet separates into two branches at the periphery of the islet. "Insulo-acinar portal vessels" which are located slightly to the inner side of the periphery of the islet extend to the capillaries of the exocrine portion.  $\times 140$
- Fig. 2.** A scanning electron micrograph of a vascular corrosion cast of the cattle pancreas. A small pancreatic islet measures about  $85 \times 75 \mu\text{m}$ . "Insulo-acinar portal vessels" leave the islet radially and enter the exocrine portions.  $\times 140$
- Fig. 3.** A scanning electron micrograph of a vascular corrosion cast of the cattle pancreas. A small pancreatic islet measures about  $100 \times 90 \mu\text{m}$ . An intralobular arteriole separates into two branches, one extending into the islet and the other into the exocrine portion. "Insulo-acinar portal vessels" are observed.  $\times 140$
- Fig. 4.** A light micrograph of the cattle pancreas injected with India ink and cleared in methyl salicylate. Intralobular arterioles (arrows) extending from the interlobular artery are recognized. An interlobular artery runs together with the interlobular vein. Emissary venules (arrowheads) from the islet continue directly to the interlobular vein.  $\times 85$
- Fig. 5.** Light micrographs of glucagon cells (A) and insulin cells (B) of the body. In the body, glucagon cells are located in the periphery of the islet and insulin cells in the center. ABC-method.  $\times 100$
- Fig. 6.** Light micrographs of glucagon cells (A) and insulin cells (B) of the left lobe. Glucagon cells are located in the periphery of the islet and insulin cells in the center. ABC-method.  $\times 100$
- Fig. 7.** Light micrographs of glucagon cells (A) and insulin cells (B) of the right lobe. In the right lobe, the islet is composed solely of insulin cells, with no glucagon cells (dotted line). ABC-method.  $\times 100$

**Summary**

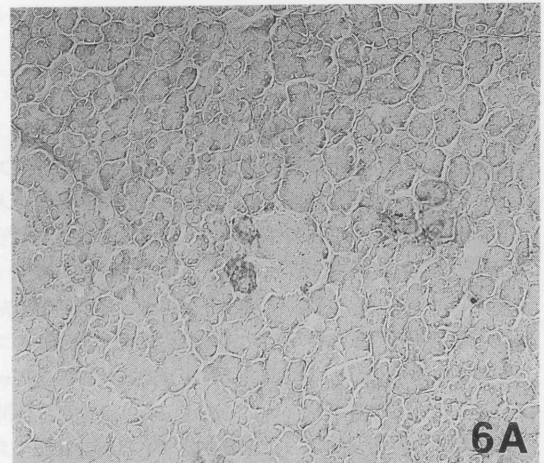
The blood vascular system of pancreatic islets of cattle was investigated by using primarily scanning electron microscopy by vascular corrosion casts. Furthermore, the distributions of A (glucagon) and B (insulin) cells in the islet were studied by immunohistochemical methods.



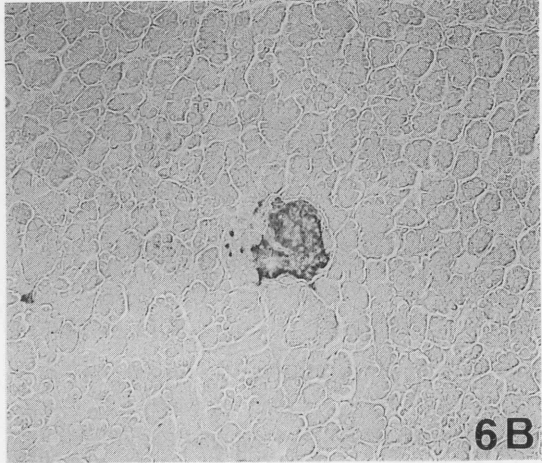
5A



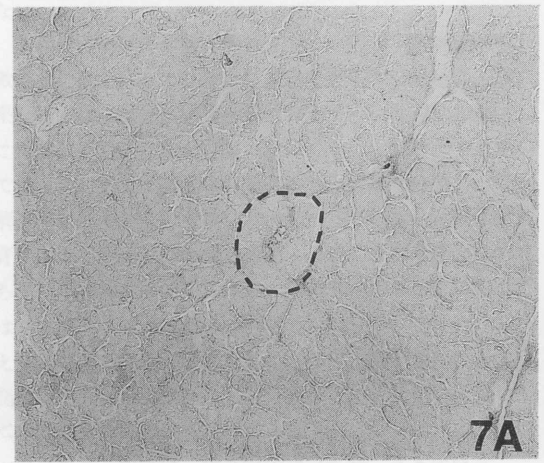
5B



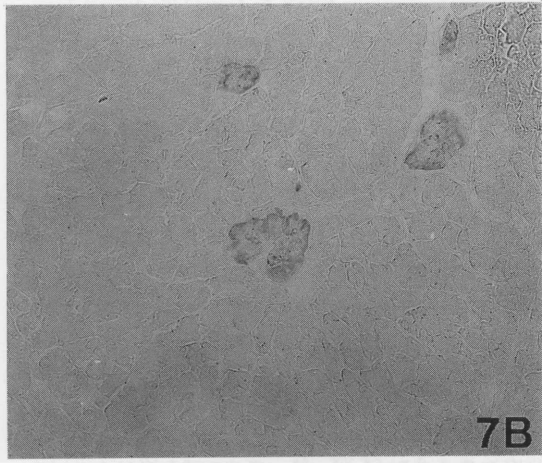
6A



6B



7A



7B